

НАЦІОНАЛЬНИЙ ТЕХНІЧНИЙ УНІВЕРСИТЕТ УКРАЇНИ «КИЇВСЬКИЙ  
ПОЛІТЕХНІЧНИЙ ІНСТИТУТ імені Ігоря СІКОРСЬКОГО»  
Фізико-технічний інститут

РОЗРАХУНКОВО-ГРАФІЧНА РОБОТА  
з кредитного модуля «Методи обчислень»  
на тему:  
«ОБЧИСЛЮВАЛЬНЕ РОЗВ'ЯЗАННЯ ДИФЕРЕНЦІАЛЬНИХ  
РІВНЯНЬ У ЧАСТИННИХ ПОХІДНИХ»  
Варіант №10

Виконав  
студент 3 курсу ФТІ  
групи ФІ-21  
Климентьев Максим Андрійович

Перевірів:

Оцінка:

## Зміст

<b>1</b>	<b>ПОСТАНОВКА ЗАДАЧІ</b>	<b>3</b>
<b>2</b>	<b>ОГЛЯД ТА АНАЛІЗ ІСНУЮЧИХ МЕТОДІВ ЧИСЕЛЬНОГО РОЗВ’ЯЗАННЯ ДРЧП</b>	<b>4</b>
2.1	Тришарова схема з вагами . . . . .	4
2.2	Явна схема . . . . .	4
<b>3</b>	<b>ДОСЛІДЖЕННЯ УМОВ ЗАСТОСУВАННЯ ОБРАНОВОГО МЕТОДУ</b>	<b>5</b>
<b>4</b>	<b>ОПИС ПРОГРАМНОЇ РЕАЛІЗАЦІЇ</b>	<b>6</b>
<b>5</b>	<b>ОГЛЯД МЕТОДІВ ПІДВИЩЕННЯ ТОЧНОСТІ</b>	<b>7</b>
<b>6</b>	<b>ЗАСТОСУВАННЯ МЕТОДУ ПІДВИЩЕННЯ ТОЧНОСТІ ТА ЕФЕКТИВНОСТІ РОЗВ’ЯЗКУ ДО ПРИКЛАДУ РОБОТИ</b>	<b>8</b>
<b>7</b>	<b>ВИСНОВКИ</b>	<b>9</b>
<b>8</b>	<b>СПИСОК ВИКОРИСТАНИХ ДЖЕРЕЛ</b>	<b>10</b>
<b>9</b>	<b>ДОДАТКИ</b>	<b>11</b>
9.1	Масиви, початковий та кінцевий . . . . .	11
9.2	Тришарова схема з вагами . . . . .	11
9.3	Явна схема . . . . .	12
9.4	$Ax = B$ . . . . .	13

# 1 ПОСТАНОВКА ЗАДАЧІ

## Варіант 10

Знайти чисельний розв'язок рівняння коливань струни:

$$\frac{\partial^2 u}{\partial t^2} = \frac{\partial^2 u}{\partial x^2} + F(t, x)$$

$$0 < x < L = 1$$

$$u(t = 0) = u_0 = x \cdot (x + 1)$$

$$\frac{\partial u}{\partial t}(t = 0) = 0$$

$$u(t, 0) = u_1(t)$$

$$u(t, L) = u_2(t)$$

---

$$u(t, x) = u_0(x) \cdot \cos(\pi \cdot t)$$

$$u_0(x) = u_0 = x \cdot (x + 1)$$

$$u(t, x) = x \cdot (x + 1) \cdot \cos(\pi \cdot t)$$

---

$$u(t, 0) = 0 \cdot 1 \cdot \cos(\pi \cdot t) = 0$$

$$u(t, L) = L \cdot (L + 1) \cdot \cos(\pi \cdot t) = 1 \cdot 2 \cdot \cos(\pi \cdot t) = 2 \cdot \cos(\pi \cdot t)$$

---

$$\frac{\partial u}{\partial x} = 2 \cdot x \cdot \cos(\pi \cdot t) + \cos(\pi \cdot t)$$

$$\frac{\partial^2 u}{\partial x^2} = 2 \cdot \cos(\pi \cdot t)$$

$$\frac{\partial u}{\partial t} = -\pi \cdot x \cdot (x + 1) \cdot \sin(\pi \cdot t)$$

$$\frac{\partial^2 u}{\partial t^2} = -\pi^2 \cdot x \cdot (x + 1) \cdot \cos(\pi \cdot t)$$

---

$$\frac{\partial^2 u}{\partial t^2} = \frac{\partial^2 u}{\partial x^2} + F(t, x)$$

$$\frac{\partial^2 u}{\partial t^2} - \frac{\partial^2 u}{\partial x^2} = F(t, x)$$

$$F(t, x) = -\pi^2 \cdot x \cdot (x + 1) \cdot \cos(\pi \cdot t) - 2 \cdot \cos(\pi \cdot t)$$

$$F(t, x) = -\cos(\pi \cdot t) \cdot (\pi^2 \cdot x \cdot (x + 1) + 2)$$

---

Рівняння — гіперболічного типу.

Є нелінійність - будемо робити через явну схему.

---

Навести приклади процесів, які моделюються за допомогою диференціальних рівнянь у частинних похідних гіперболічного типу

## 2 ОГЛЯД ТА АНАЛІЗ ІСНУЮЧИХ МЕТОДІВ ЧИСЕЛЬНОГО РОЗВ'ЯЗАННЯ ДРЧП

### 2.1 Тришарова схема з вагами

$$\begin{aligned}
 & -\frac{\Delta t^2 \cdot \sigma_1}{\Delta x^2} \cdot u(k+1, i-1) + \left(1 + 2 \cdot \frac{\Delta t^2 \cdot \sigma_1}{\Delta x^2}\right) \cdot u(k+1, i) - \frac{\Delta t^2 \cdot \sigma_1}{\Delta x^2} \cdot u(k+1, i+1) = \\
 & = 2 \cdot u(k, i) - u(k-1, i) + \\
 & + \Delta t^2 \cdot \sigma_1 \cdot F(k+1, i) + \\
 & + \Delta t^2 \cdot (1 - \sigma_1 - \sigma_2) \cdot \left(\frac{u(k, i+1) - 2 \cdot u(k, i) + u(k, i-1)}{\Delta x^2} + F(k, i)\right) + \\
 & + \Delta t^2 \cdot \sigma_2 \cdot \left(\frac{u(k-1, i+1) - 2 \cdot u(k-1, i) + u(k-1, i-1)}{\Delta x^2} + F(k-1, i)\right)
 \end{aligned}$$

Приведення до такого виду (9.2)

Після чого вирішується така система кожну ітерацію:

$$Ax = B$$

де  $x$  - незалежна змінна для  $u$ , де  $B$  - права частина, порахована через минулі незалежні змінні, де  $A$  - тридіагональна матриця з коефіцієнтів,

$$Shape(nx-2, nx-2) = A$$

$$Shape(nx-2) = B$$

$$Shape(nx-2) = x$$

Приведення до такого виду (9.4)

- Переваги: Необхідність меншої кількості точок для часу.
- Недоліки:
  - Треба нормально так подумати, аби правильно реалізувати;
  - Для коректної роботи схеми:  $\sigma_1 \geq \sigma_2$ ;
  - $\sigma_1 + \sigma_2 \geq \frac{1}{2}$  — схема є **стійкою** для будь-яких  $\Delta x$  та  $\Delta t$ ;
  - $\sigma_1 + \sigma_2 < \frac{1}{2}$  — схема є **умовно стійкою**, тобто вона буде працювати для:

$$\Delta t \leq \frac{\Delta x}{\sqrt{1 - 2 \cdot (\sigma_1 + \sigma_2)}}$$

### 2.2 Явна схема

$$u(k+1, i) = 2 \cdot u(k, i) - u(k-1, i) + \Delta t^2 \cdot \left(\frac{u(k, i+1) - 2 \cdot u(k, i) + u(k, i-1)}{\Delta x^2} + F(k, i)\right)$$

Приведення до такого виду (9.3)

- Переваги: Простота реалізації, висока швидкість
- Недоліки: Необхідна стійкість  $\frac{\Delta t}{\Delta x^2} \leq 0.5$

Оберемо Тришарову схему з вагами (2.1)

### 3 ДОСЛІДЖЕННЯ УМОВ ЗАСТОСУВАННЯ ОБРАНОГО МЕТОДУ

Як вже згадувалось у недоліках (2.1):

- Для коректної роботи схеми:  $\sigma_1 \geq \sigma_2$ ;
- $\sigma_1 + \sigma_2 \geq \frac{1}{2}$  — схема є **стійкою** для будь-яких  $\Delta x$  та  $\Delta t$ ;
- $\sigma_1 + \sigma_2 < \frac{1}{2}$  — схема є **умовно стійкою**, тобто вона буде працювати для:

$$\Delta t \leq \frac{\Delta x}{\sqrt{1 - 2 \cdot (\sigma_1 + \sigma_2)}}$$

## 4 ОПИС ПРОГРАМНОЇ РЕАЛІЗАЦІЇ

Тут можна побачити саму програму <https://github.com/KlymentievMaksym/MetOb/blob/main/RGR/RGR.ipynb>

Параметри:

Кількість вузлів  $x = 100$

Кількість індексів дискретного часу  $t = 1000$

Відстань між сусідніми просторовими вузлами  $\Delta x = 0.01$

Відстань між сусідніми моментами часу  $\Delta t = 0.002$

$L = 1$

$T = 2$

Застосовано Тришарову схему з вагами (2.1).

Масиви, початковий та кінцевий (9.1)

Побудовано графіки:

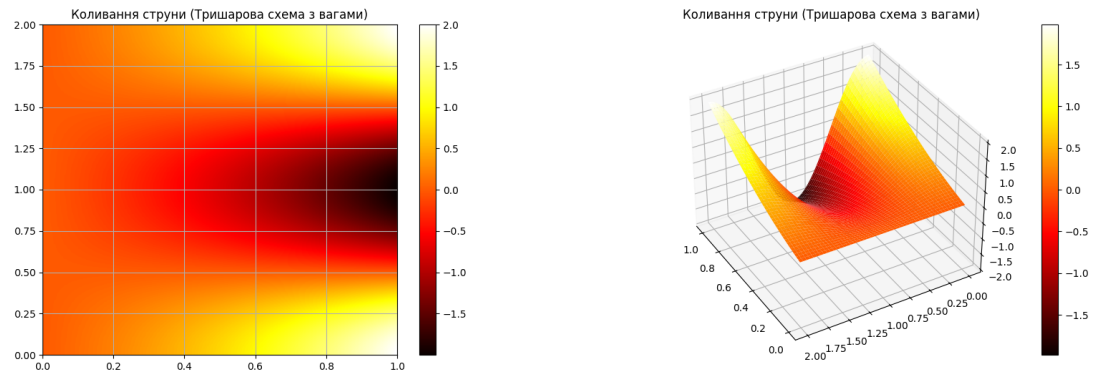


Рис. 1: Поверхня  $U(t, x)$  у 2D та 3D

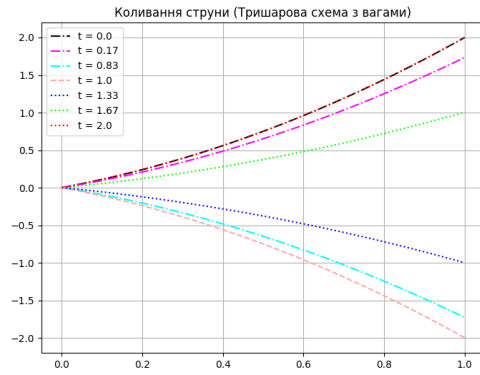


Рис. 2: Зрізи  $U(t, x)$  для фіксованих моментів часу

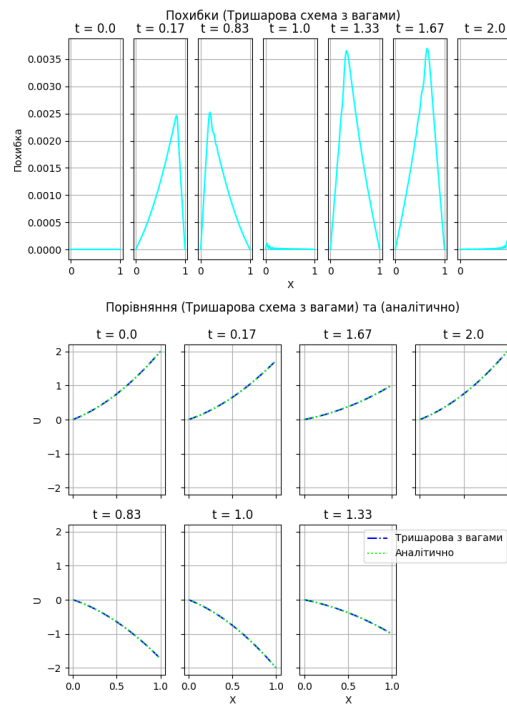


Рис. 3: Похибка

## 5 ОГЛЯД МЕТОДІВ ПІДВИЩЕННЯ ТОЧНОСТІ

Можна збільшити кількість точок  $t$ .

## 6 ЗАСТОСУВАННЯ МЕТОДУ ПІДВИЩЕННЯ ТОЧНОСТІ ТА ЕФЕКТИВНОСТІ РОЗВ'ЯЗКУ ДО ПРИКЛАДУ РОБОТИ

Зі збільшенням  $t$  зменшується похибка

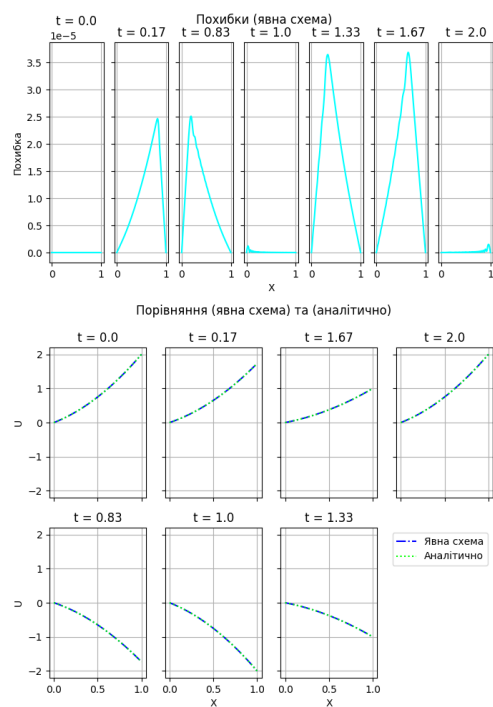


Рис. 4: Похибка (Фотографії узяті з явної схеми, оскільки при однаковій кількості точок вони дають однакову похибку)



## 7 ВИСНОВКИ

Застосувавши Тришарову схему з вагами ми отримали коливання струни, яке майже таке ж, як аналітичний розв'язок. Приклади процесів, які моделюються за допомогою гіперболічних диференціальних рівнянь у частинних похідних:

- Коливання струни. Одне з таких можна побачити вище, у постановці задачі.
- Коливання мембрани. Таке ж, як коливання струни, але з двома незалежними змінними.
- Поширення звукових хвиль.
- Поширення електромагнітних хвиль.

## 8 СПИСОК ВИКОРИСТАНИХ ДЖЕРЕЛ

1. Методи обчислень: Розрахунково-графічна робота [Електронний ресурс]: навч. посіб. для студ. спец. 113 «Прикладна математика» / КПІ ім. Ігоря Сікорського; уклад.: І.В. Стюпочкіна. – Електронні текстові дані (1 файл: 7,7 Мбайт). – Київ : КПІ ім. Ігоря Сікорського, 2022. – 56 с.
2. W. T. Lee. Tridiagonal Matrices: Thomas Algorithm. MS6021, Scientific Computation, University of Limerick. URL: [http://www.industrial-maths.com/ms6021\\_thomas.pdf](http://www.industrial-maths.com/ms6021_thomas.pdf)

## 9 ДОДАТКИ

### 9.1 Масиви, початковий та кінцевий

Початкова матриця (1000x100):

$$\begin{pmatrix} 0.0 & 0.01020304050607081 & 0.020610141822263034 & \dots & 1.9697990001020307 & 2.0 \\ 0.0 & 0.01020304050607081 & 0.020610141822263034 & \dots & 1.9697990001020307 & 1.9999604426373665 \\ 0.0 & 0.0 & 0.0 & \dots & 0.0 & 1.999841772114251 \\ 0.0 & 0.0 & 0.0 & \dots & 0.0 & 1.9996439931249463 \\ 0.0 & 0.0 & 0.0 & \dots & 0.0 & 1.9993671134930677 \\ 0.0 & 0.0 & 0.0 & \dots & 0.0 & 1.999011144171243 \\ 0.0 & 0.0 & 0.0 & \dots & 0.0 & 1.99857609924068 \\ 0.0 & 0.0 & 0.0 & \dots & 0.0 & 1.9980619959106087 \\ 0.0 & 0.0 & 0.0 & \dots & 0.0 & 1.9974688545176011 \\ 0.0 & 0.0 & 0.0 & \dots & 0.0 & 1.9967966985247663 \\ \dots & \dots & \dots & \dots & \dots & \dots \\ 0.0 & 0.0 & 0.0 & \dots & 0.0 & 1.999841772114251 \\ 0.0 & 0.0 & 0.0 & \dots & 0.0 & 1.9999604426373665 \\ 0.0 & 0.0 & 0.0 & \dots & 0.0 & 2.0 \end{pmatrix}$$

Фінальна матриця (1000x100):

$$\begin{pmatrix} 0.0 & 0.01020304050607081 & 0.020610141822263034 & \dots & 1.9697990001020307 & 2.0 \\ 0.0 & 0.01020304050607081 & 0.020610141822263034 & \dots & 1.9697990001020307 & 1.9999604426373665 \\ 0.0 & 0.010202637068360935 & 0.02060932671944144 & \dots & 1.9697195581339106 & 1.999841772114251 \\ 0.0 & 0.010201830367918184 & 0.020607696720591286 & \dots & 1.9695592711572425 & 1.9996439931249463 \\ 0.0 & 0.010200620584156602 & 0.020605252064306783 & \dots & 1.969316960781178 & 1.9993671134930677 \\ 0.0 & 0.01019900789625577 & 0.020601993020245186 & \dots & 1.9689917575962361 & 1.999011144171243 \\ 0.0 & 0.010196992479686104 & 0.020597919887864045 & \dots & 1.9685831569058483 & 1.99857609924068 \\ 0.0 & 0.010194574504149699 & 0.020593032994595854 & \dots & 1.9680910411973875 & 1.9980619959106087 \\ 0.0 & 0.010191754133025591 & 0.020587332693514874 & \dots & 1.9675156681484067 & 1.9974688545176011 \\ 0.0 & 0.010188531524273675 & 0.020580819360640993 & \dots & 1.9668576264838946 & 1.9967966985247663 \\ \dots & \dots & \dots & \dots & \dots & \dots \\ 0.0 & 0.01020677415746861 & 0.020603325625168555 & \dots & 1.9695620769242572 & 1.999841772114251 \\ 0.0 & 0.010206447367528225 & 0.020606105713839022 & \dots & 1.969687107685745 & 1.9999604426373665 \\ 0.0 & 0.010205302713256682 & 0.02060844158171087 & \dots & 1.9697346596870817 & 2.0 \end{pmatrix}$$

### 9.2 Тришарова схема з вагами

$$u(t, x)$$

$$\frac{\partial^2 u}{\partial t^2} = \frac{\partial^2 u}{\partial x^2} + F(t, x)$$

$$\begin{aligned}\frac{u_i^{k+1} - 2 \cdot u_i^k + u_i^{k-1}}{\Delta t^2} &= \sigma_1 \cdot \left( \frac{u_{i+1}^{k+1} - 2 \cdot u_i^{k+1} + u_{i-1}^{k+1}}{\Delta x^2} + F_i^{k+1} \right) + \\ &+ (1 - \sigma_1 - \sigma_2) \cdot \left( \frac{u_{i+1}^k - 2 \cdot u_i^k + u_{i-1}^k}{\Delta x^2} + F_i^k \right) + \\ &+ \sigma_2 \cdot \left( \frac{u_{i+1}^{k-1} - 2 \cdot u_i^{k-1} + u_{i-1}^{k-1}}{\Delta x^2} + F_i^{k-1} \right)\end{aligned}$$

$$\begin{aligned}u_i^{k+1} &= 2 \cdot u_i^k - u_i^{k-1} + \Delta t^2 \cdot \sigma_1 \cdot \left( \frac{u_{i+1}^{k+1} - 2 \cdot u_i^{k+1} + u_{i-1}^{k+1}}{\Delta x^2} + F_i^{k+1} \right) + \\ &+ \Delta t^2 \cdot (1 - \sigma_1 - \sigma_2) \cdot \left( \frac{u_{i+1}^k - 2 \cdot u_i^k + u_{i-1}^k}{\Delta x^2} + F_i^k \right) + \\ &+ \Delta t^2 \cdot \sigma_2 \cdot \left( \frac{u_{i+1}^{k-1} - 2 \cdot u_i^{k-1} + u_{i-1}^{k-1}}{\Delta x^2} + F_i^{k-1} \right)\end{aligned}$$

$$\begin{aligned}u_i^{k+1} - \frac{\Delta t^2 \cdot \sigma_1}{\Delta x^2} \cdot (u_{i+1}^{k+1} - 2 \cdot u_i^{k+1} + u_{i-1}^{k+1}) &= \\ &= 2 \cdot u_i^k - u_i^{k-1} + \\ &+ \Delta t^2 \cdot \sigma_1 \cdot F_i^{k+1} + \\ &+ \Delta t^2 \cdot (1 - \sigma_1 - \sigma_2) \cdot \left( \frac{u_{i+1}^k - 2 \cdot u_i^k + u_{i-1}^k}{\Delta x^2} + F_i^k \right) + \\ &+ \Delta t^2 \cdot \sigma_2 \cdot \left( \frac{u_{i+1}^{k-1} - 2 \cdot u_i^{k-1} + u_{i-1}^{k-1}}{\Delta x^2} + F_i^{k-1} \right)\end{aligned}$$

$$\begin{aligned}u(k+1, i) - \frac{\Delta t^2 \cdot \sigma_1}{\Delta x^2} \cdot (u(k+1, i+1) - 2 \cdot u(k+1, i) + u(k+1, i-1)) &= \\ &= 2 \cdot u(k, i) - u(k-1, i) + \\ &+ \Delta t^2 \cdot \sigma_1 \cdot F(k+1, i) + \\ &+ \Delta t^2 \cdot (1 - \sigma_1 - \sigma_2) \cdot \left( \frac{u(k, i+1) - 2 \cdot u(k, i) + u(k, i-1)}{\Delta x^2} + F(k, i) \right) + \\ &+ \Delta t^2 \cdot \sigma_2 \cdot \left( \frac{u(k-1, i+1) - 2 \cdot u(k-1, i) + u(k-1, i-1)}{\Delta x^2} + F(k-1, i) \right)\end{aligned}$$

### 9.3 Явна схема

$$u(t, x)$$

$$\begin{aligned}
\frac{\partial^2 u}{\partial t^2} &= \frac{\partial^2 u}{\partial x^2} + F(t, x) \\
\frac{u_i^{k+1} - 2 \cdot u_i^k + u_i^{k-1}}{\Delta t^2} &= \frac{u_{i+1}^k - 2 \cdot u_i^k + u_{i-1}^k}{\Delta x^2} + F_i^k \\
u_i^{k+1} - 2 \cdot u_i^k + u_i^{k-1} &= \Delta t^2 \cdot \left( \frac{u_{i+1}^k - 2 \cdot u_i^k + u_{i-1}^k}{\Delta x^2} + F_i^k \right) \\
u_i^{k+1} &= 2 \cdot u_i^k - u_i^{k-1} + \Delta t^2 \cdot \left( \frac{u_{i+1}^k - 2 \cdot u_i^k + u_{i-1}^k}{\Delta x^2} + F_i^k \right)
\end{aligned}$$

#### 9.4 Ax = B

A =

$$\begin{pmatrix}
\left(1 + 2 \cdot \frac{\Delta t^2 \cdot \sigma_1}{\Delta x^2}\right) & -\frac{\Delta t^2 \cdot \sigma_1}{\Delta x^2} & 0.0 & \dots & 0.0 & 0.0 & 0.0 \\
-\frac{\Delta t^2 \cdot \sigma_1}{\Delta x^2} & \left(1 + 2 \cdot \frac{\Delta t^2 \cdot \sigma_1}{\Delta x^2}\right) & -\frac{\Delta t^2 \cdot \sigma_1}{\Delta x^2} & \dots & 0.0 & 0.0 & 0.0 \\
0.0 & -\frac{\Delta t^2 \cdot \sigma_1}{\Delta x^2} & \left(1 + 2 \cdot \frac{\Delta t^2 \cdot \sigma_1}{\Delta x^2}\right) & \dots & 0.0 & 0.0 & 0.0 \\
0.0 & 0.0 & -\frac{\Delta t^2 \cdot \sigma_1}{\Delta x^2} & \dots & 0.0 & 0.0 & 0.0 \\
0.0 & 0.0 & 0.0 & \dots & 0.0 & 0.0 & 0.0 \\
0.0 & 0.0 & 0.0 & \dots & 0.0 & 0.0 & 0.0 \\
0.0 & 0.0 & 0.0 & \dots & 0.0 & 0.0 & 0.0 \\
0.0 & 0.0 & 0.0 & \dots & 0.0 & 0.0 & 0.0 \\
0.0 & 0.0 & 0.0 & \dots & 0.0 & 0.0 & 0.0 \\
\dots & \dots & \dots & \dots & \dots & \dots & \dots \\
0.0 & 0.0 & 0.0 & \dots & \left(1 + 2 \cdot \frac{\Delta t^2 \cdot \sigma_1}{\Delta x^2}\right) & -\frac{\Delta t^2 \cdot \sigma_1}{\Delta x^2} & 0.0 \\
0.0 & 0.0 & 0.0 & \dots & -\frac{\Delta t^2 \cdot \sigma_1}{\Delta x^2} & \left(1 + 2 \cdot \frac{\Delta t^2 \cdot \sigma_1}{\Delta x^2}\right) & -\frac{\Delta t^2 \cdot \sigma_1}{\Delta x^2} \\
0.0 & 0.0 & 0.0 & \dots & 0.0 & -\frac{\Delta t^2 \cdot \sigma_1}{\Delta x^2} & \left(1 + 2 \cdot \frac{\Delta t^2 \cdot \sigma_1}{\Delta x^2}\right)
\end{pmatrix}$$

B =

$$\begin{pmatrix}
2 \cdot u(k, 1) - u(k-1, 1) + \\
+ \Delta t^2 \cdot \sigma_1 \cdot F(k+1, 1) + \\
+ \Delta t^2 \cdot (1 - \sigma_1 - \sigma_2) \cdot \left( \frac{u(k, 2) - 2 \cdot u(k, 1) + u(k, 0)}{\Delta x^2} + F(k, 1) \right) + \\
+ \Delta t^2 \cdot \sigma_2 \cdot \left( \frac{u(k-1, 2) - 2 \cdot u(k-1, 1) + u(k-1, 0)}{\Delta x^2} + F(k-1, 1) \right) + \\
+ \frac{\Delta t^2 \cdot \sigma_1}{\Delta x^2} \cdot u(k+1, 0) \\
\\
2 \cdot u(k, 2) - u(k-1, 2) + \\
+ \Delta t^2 \cdot \sigma_1 \cdot F(k+1, 2) + \\
+ \Delta t^2 \cdot (1 - \sigma_1 - \sigma_2) \cdot \left( \frac{u(k, 3) - 2 \cdot u(k, 2) + u(k, 1)}{\Delta x^2} + F(k, 2) \right) + \\
+ \Delta t^2 \cdot \sigma_2 \cdot \left( \frac{u(k-1, 3) - 2 \cdot u(k-1, 2) + u(k-1, 1)}{\Delta x^2} + F(k-1, 2) \right) \\
\\
\ldots \\
\\
2 \cdot u(k, i) - u(k-1, nx-3) + \\
+ \Delta t^2 \cdot \sigma_1 \cdot F(k+1, nx-3) + \\
+ \Delta t^2 \cdot (1 - \sigma_1 - \sigma_2) \cdot \left( \frac{u(k, nx-2) - 2 \cdot u(k, nx-3) + u(k, nx-4)}{\Delta x^2} + F(k, nx-3) \right) + \\
+ \Delta t^2 \cdot \sigma_2 \cdot \left( \frac{u(k-1, nx-2) - 2 \cdot u(k-1, nx-3) + u(k-1, nx-4)}{\Delta x^2} + F(k-1, nx-3) \right) \\
\\
2 \cdot u(k, i) - u(k-1, nx-2) + \\
+ \Delta t^2 \cdot \sigma_1 \cdot F(k+1, nx-2) + \\
+ \Delta t^2 \cdot (1 - \sigma_1 - \sigma_2) \cdot \left( \frac{u(k, nx-1) - 2 \cdot u(k, nx-2) + u(k, nx-3)}{\Delta x^2} + F(k, nx-2) \right) + \\
+ \Delta t^2 \cdot \sigma_2 \cdot \left( \frac{u(k-1, nx-1) - 2 \cdot u(k-1, nx-2) + u(k-1, nx-3)}{\Delta x^2} + F(k-1, nx-2) \right) + \\
+ \frac{\Delta t^2 \cdot \sigma_1}{\Delta x^2} \cdot u(k+1, nx-2)
\end{pmatrix}$$

x =

$$\begin{pmatrix}
u(k+1, 1) \\
\vdots \\
u(k+1, nx-2)
\end{pmatrix}$$